

愛媛大学工学部

正員 理博 山下親平

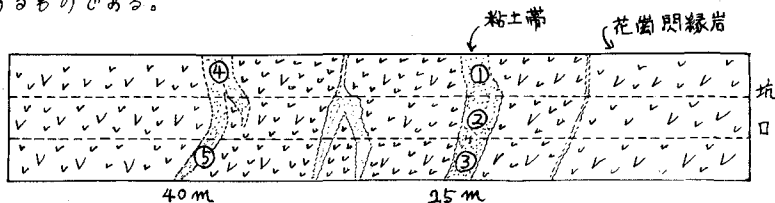
〃 〃 松木三郎

愛媛大学大学院

学生員 片山修三

愛媛県玉川ダム附近は中世代領家統の花崗閃緑岩が広く分布している。その花崗閃緑岩中に中世代末期の閃緑岩が侵入している。この閃緑岩との接觸部に節離を生じ、そこに粘土帶が形成されている。玉川ダム岩盤にはこの粘土帶が多くその分布は複雑である。

著者らはこの粘土化學分析、X線分析、示差熱分析によってその組成を分析して組成中の粘土鉱物を同定した。また、この粘土について圧密試験をかけない粘土の透水係数K値を測定し、土粒子内部における粘土鉱物の組成比によってK値がいかに変化するかを調べた。また、粘土粒子中の原子結晶構造から土粒子内部の層間水を考測し、これが粘土粒子相互間の含水比となり、含水比がK値に及ぼす影響を考察するものである。



1. 化學分析

岩盤粘土を坑口より25m地表を上よりNo.1, No.2, No.3, 40mの地表を上よりNo.4, No.5とした試料につき分析した結果は右表の通りである。これによるとAl₂O₃はNo.4でNo.5は多く、No.1, No.2は少くなっている。MgOはNo.4で最も多く、No.2で最も少い。

2. 示差熱分析

200°C付近の吸熱カーブによりモンモリオナイトがバーミキュライトの反応が見られ、最下部において最も多くなっている。セリサイトはNo.2が多くNo.5がこれに次いで多い。カオリナイトはNo.2, No.4に多く、上部では多くなっている。(図.1 参照)

3. X-線分析

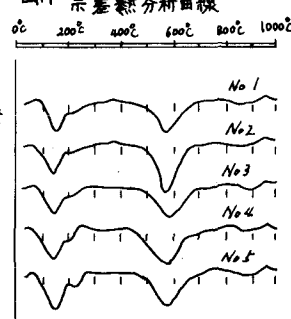
バーミキュライト、ハローサイト、クローライト、セリサイト、イライドを検出した。

バーミキュライトにおいてはNo.4, No.5に多く、下部に

化学分析表

	No.1 (%)	No.2 (%)	No.3 (%)	No.4 (%)	No.5 (%)
SiO ₂	51.151	58.694	63.587	65.309	69.994
Al ₂ O ₃	14.105	16.047	14.430	8.930	5.489
Fe ₂ O ₃ TiO ₂	1.818	6.843	7.245	4.973	5.161
TiO ₂	0.694	0.597	0.559	0.446	0.477
MnO	0.593	0.449	1.529	2.979	3.003
CaO	9.674	5.588	3.488	5.808	4.300
MgO	1.151	0.602	1.111	2.353	0.780
Na ₂ O	1.000	2.377	1.800	1.800	1.356
K ₂ O	0.060	0.823	0.180	0.100	0.753
P ₂ O ₅	0.637	0.639	0.444	0.318	0.424
H ₂ O ⁺	3.885	4.784	2.998	3.914	4.833
H ₂ O ⁻	2.550	3.521	2.709	3.034	3.225
Total	99.991	99.981	100.080	99.964	99.795

図.1 示差熱分析曲線



おいて多い。(図2参照)

4. 荷重とK値との関係

粒形0.142mm以下の試料に対して圧密試験を行い、それよりK値を出した。

これによるとK値はNo.5が最も大きく(荷重-K値, $0.54 \text{ cm}^2 - 3.2 \times 10^{-5} \text{ cm/sec}$)次いでNo.4, No.1, No.3, No.2(荷重-K値 $0.54 \text{ cm}^2 - 0.14 \times 10^{-5} \text{ cm/sec}$)の順に小さくなっている。(図3参照)

5. 含水比とK値との関係

含水比はNo.5が最も多く、載荷前に20.5%、除荷後に16.5%を示し、No.1に於て最も少く18.5%を示し、除荷後に14.2%を示している。これに対するK値はNo.5が最も多く、 $3.2 \times 10^{-5} \text{ cm/sec}$ を示し、No.2が最も少く、 $0.14 \times 10^{-5} \text{ cm/sec}$ を示している。(表A参照)

6. 結果の考察

a) X線分析、示差熱分析、化学分析の結果バーミキュライト、ハローサイト、セリサイト、カオリナイト、クローライト、イライド、アメサイトを検出し、その量比を出すことができた。これらのバーミキュライト、カオリナイト、セリサイト、クローライトを化学成分上の三成分系で考えると $\text{Al}_2\text{O}_3 - \text{Fe}_2\text{O}_3(\text{+FeO}) - \text{MgO}$ 系においてNo.5は $\text{Fe}_2\text{O}_3(\text{+FeO})$ 及び MgO が多くなってクローライトの成分に最も近く、バーミキュライトの成分にやや近づいている。また、No.2において $\text{Fe}_2\text{O}_3(\text{+FeO})$ 及び MgO の成分がやや少くクローライト、*バーミキュライトの成分が

多くなる。また、 $\text{SiO}_2 - \text{Al}_2\text{O}_3 - \text{H}_2\text{O}$ 系において、No.5は $\text{Al}_2\text{O}_3 + \text{H}_2\text{O}$ の成分が少く、イライド [$\text{K}_{0.58}(\text{Al}_{1.38}\text{Fe}_{0.37}\text{Fe}_{0.04}\text{Mg}_{0.34})(\text{Si}_{3.4}\text{Al}_{0.59})\text{O}_{10}(\text{OH})_2\text{H}_2\text{O}$]、セリサイト [$(\text{K}, \text{Na}, \text{Ca})_{0.8-1}(\text{Al}, \text{Mg}, \text{Fe}^{2+}, \text{Fe}^{3+})_2(\text{Si}, \text{Al})_{14}\text{O}_{10}(\text{OH})_2\text{H}_2\text{O}$] の成分に近づいている。(図4.5参照)

図2 X線分析曲線

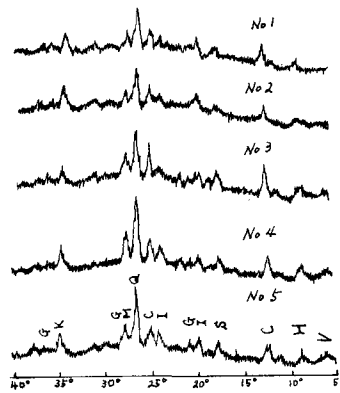
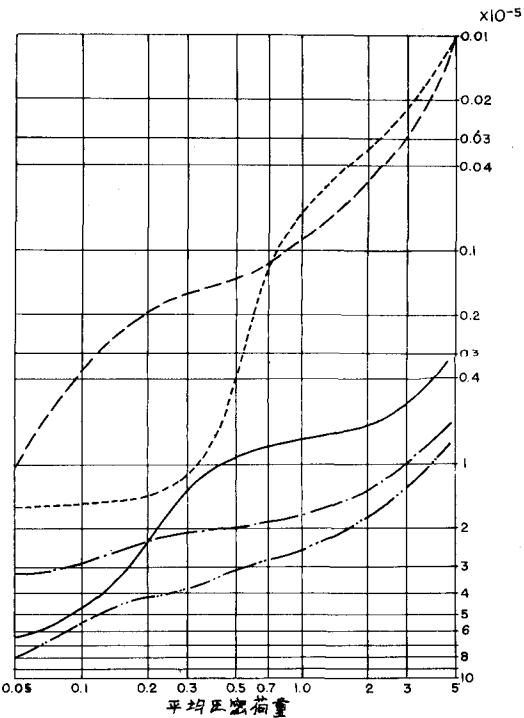


図3 平均圧密荷重に対する透水係数

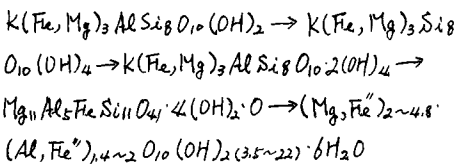


表A

	No.1	No.2	No.3	No.4	No.5
K値 (荷重 0.54 cm^2)	0.95×10^{-5}	0.14×10^{-5}	0.4×10^{-5}	2.0×10^{-5}	3.2×10^{-5}
含水比 載荷前	18.5	29.0	24.5	20.0	20.5
除荷後	14.2	15.0	17.5	13.0	16.5

7) これを透水係数K値から見るとイライト及びセリサイトが多いとK値が増大し、イライト、セリサイト及びキフサイトが少ないとK値が減少する。また、カオリナイトが少量なればK値が減少する。今ここに、カオリナイトのK値とバーミキュライトのK値を比較すると(No.2)、バーミキュライトが少ないとK値が増大し、多リとやへ減少している。また、カオリナイトが多量なればK値が増大し、カオリナイトが少量なればK値が減少する。なぜならば、土粒子内の原子結晶格子構造において、カオリニンの場合OH, Al原子のみにて層格子を作り、格子と格子の間にOHイオン、Alイオンと共に層間水をつくるのである。この層間水が土粒子の内側から土粒子の外側へ移動して土粒子の含水量となるのである。ところがバーミキュライトの場合土粒子内の原子構造はOH, Al, Mg反応によって、陽イオン、陰イオンが凝集することになるのである。その為に土粒子外側への水分の移動が減少し、土粒子相互間のK値が減少することになる。(図6 参照)

* 粘土帶中のクローライトになると為には花崗岩中のバイオタイトが次の様に変化する。



参考文献

- (1) Ervin, Jr. J. and Osborn, E.F.: The system $Al_2O_3 - H_2O$; *Jour. Geol.*, vol. 59, p.381 (1951)
- (2) Rolfe, R.N. and Jeffries: *Conf. Soil Sci.*, vol. 116, p.599 (1952)
- (3) Grim: *Clay Mineralogy*, Mc Graw-Hill *et. Geol.*, p.49 (1953)

図4 K値と各試料における粘土鉱物の分布

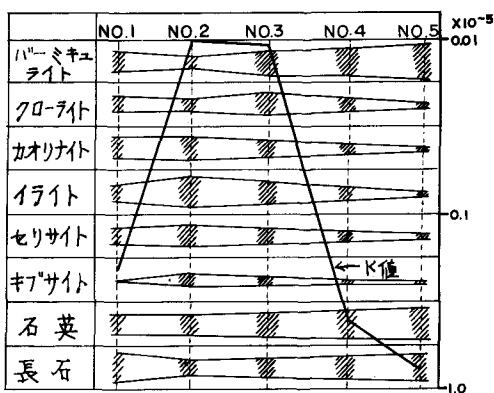


図5 三角座標

$Al_2O_3 - (Fe^{''}, Fe'')O - MgO$ 系 $SiO_2 - Al_2O_3 - H_2O$ 系

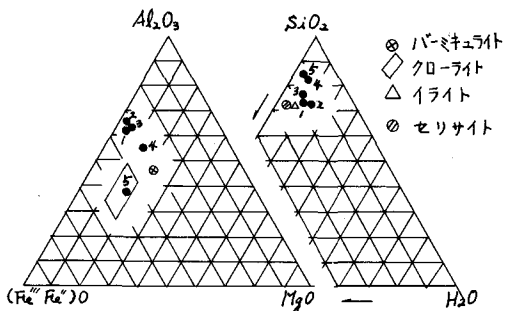


図6

